

개선된 IMC-PID tuning법의 제안

최희동, 이지태
경북대학교 화학공학과

Improved IMC-PID tuning method

Heedong Choi, Jitae Lee
Kyungpook national university, Chemical Engineering

1. 서론

현장에서 사용되는 제어기의 대부분은 성능이 우수하고, 구조가 매우 간단하며, 각 요소의 기능이 명확하여 현장 엔지니어가 쉽게 받아들이는 PID 제어기이다.

한편 PID 제어기의 변수를 찾는 tuning법으로는 Ziegler-Nichols tuning, 오차 적분값의 최소화에 근거한 tuning, IMC-PID tuning, pole placement tuning 등이 있다. 현재 가장 자주 사용되고 있는 방법이 ITAE tuning과 IMC-PID tuning 인데, 본 연구에서는 IMC-PID tuning에 pole placement tuning을 결합하여 관계식이 간편하면서 IMC-PID tuning의 부하 응답이 나쁜 단점을 보완하는 tuning법을 제안하고자 한다.

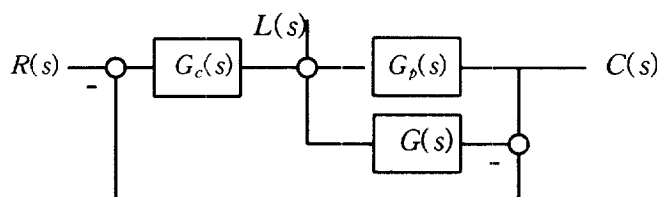
2. 이론

2-1. pole/zero cancellation에 의한 PID 제어기 tuning

IMC(Internal Model Control) 제어기는 아래 그림과 같은 구조를 갖는다(Morari and Zafiriou, 1989) 아래 그림에서

$$G_c(s) = \frac{f(s)}{G_-(s)}$$
$$f(s) = \frac{1}{(\lambda s + 1)^r}$$
$$G(s) = G_+(s) G_-(s)$$

$G_+(s)$: contains all time delays and right-half-plane zeros
in the form of $e^{-\theta s}$ and $(-\beta s + 1)/(\beta s + 1)$



이 제어 시스템에서 만약 $G_p(s) = G(s)$ 이면

$$\frac{C(s)}{R(s)} = f(s)G_+(s) = \frac{G_+(s)}{(\lambda s + 1)^r} \text{ 가 되어, } \lambda \text{로 빠르기가 결정되는, 진동이 없는}$$

좋은 설정점 응답을 준다. 반면에

$$\frac{C(s)}{L(s)} = G(s)(1 - f(s)G_+(s)) \text{가 되어 부하 응답에는 공정의 open-loop pole이]$$

남아있게 된다. 이는 pole/zero cancellation이 일어났기 때문이며, 부하 응답이 설정점 응답에 비해 매우 나쁠 수 있다.

2-2.pole placement에 의한 PID 제어기 tuning

PI 제어기는 두 조절 변수를 갖고 있으므로 폐루프 pole 두개를 임의로 결정할 수 있다. 예를 들어, 일차공정에 PI 제어기를 설치하는 경우를 고려해보자. 폐루프 전달함수는

$$\begin{aligned} \frac{C(s)}{R(s)} &= \frac{G_c(s)G_p(s)}{1 + G_c(s)G_p(s)} \\ &= \frac{k_c(1 + \frac{1}{\tau_p s}) - \frac{k}{\tau s + 1}}{1 + k_c(1 + \frac{1}{\tau_p s}) - \frac{k}{\tau s + 1}} \\ &= \frac{\frac{\tau s + 1}{\tau \tau_i}}{\frac{\tau \tau_i}{kk_c} s^2 + \frac{\tau_i(1 + kk_c)}{kk_c} s + 1} \end{aligned}$$

가 되어 PI 제어기 변수 k_c 및 τ_i 를 변경하여 폐루프 시스템의 두 pole을 원하는 위치에 있게 할 수 있다(Astrom and Hagglund, 1988). pole이 시스템의 전체적인 응답을 좌우하므로 이 방식으로 PI 제어기 변수를 결정할 수 있다.

부하변화에 대한 폐루프 전달함수는

$$\begin{aligned} \frac{C(s)}{L(s)} &= \frac{G_{p(s)}}{1 + G_c(s)G_p(s)} \\ &= \frac{\frac{\tau s + 1}{\tau \tau_i}}{\frac{\tau \tau_i}{kk_c} s^2 + \frac{\tau_i(1 + kk_c)}{kk_c} s + 1} \end{aligned}$$

가 되어 $C(s)/R(s)$ 와 같은 폐루프 pole을 갖는다. 따라서 앞절의 pole/zero 소거법에 기초한 tuning에서처럼 부하응답이 매우 나빠진다는가 하는 단점은 없다. 단 이 tuning법은 식이 약간 복잡하고, 좋은 폐루프 pole위치가 잘 밝혀져 있지 않다는 단점이 있다.

2-3 개선된 IMC-PID tuning 법의 제안

pole/zero cancellation법의 간단함과 pole placement법의 부하응답의 우수성을 결합하는 개선된 PID제어기 tuning법을 제안하고자 한다. 먼저 dominant pole과 zero만 남기고 나머지는 pole/zero cancellation을 시킨다. 그런 후 dominant pole과 zero의 시스템에 pole placement 법을 적용하는데, 폐루프 pole 위치와 관련된 여러 변수를 하나로 줄여 사용하기 편하게 한다.

먼저 공정을 다음과 같이 분리한다.

$$G_p(s) = G_{+d}(s) G_{-d}(s)$$

$$\text{여기서 } G_{+d}(s) = G_+ \frac{as+1}{\tau s + 1}$$

nonminimum phase part plus dominant pole and zero

그후 $G_{+d}(s)$ 의 시스템에 대하여 pole placement법을 적용하여 제어기를 설계한다. 설계방식은 폐루프 pole이 모두 $(-1/\lambda, 0)$ 가 되게 한다.

한편, $G_{-d}(s)$ 를 소거하는 compensator를 구성한다.

$$f(s) G_{-d}(s)^{-1} = \frac{G_{-d}(s)^{-1}}{\left(\frac{\lambda}{10}s + 1\right)^r}$$

를 설계한다. 여기서 r은 0이 compensator가 proper 해지도록 하는 값이다. 아래 여러 경우에 대해 변수값이 나와있다.

$$\text{제어기 } G_c(s) = k_c \left(1 + \frac{1}{\tau_s s} + \tau_D s\right)$$

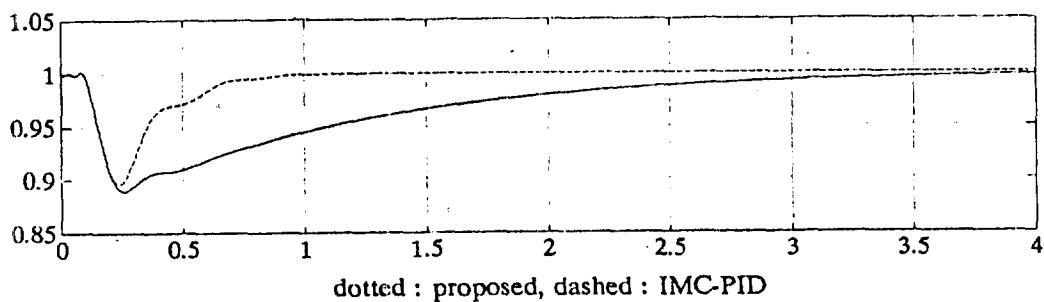
공정	kk_c	τ_i	τ_D
$\frac{k(-\beta s + 1)}{\tau s + 1}$	$\frac{\tau(\beta + 2\lambda) - \lambda^2}{(\beta + \lambda)^2}$	$\frac{\tau(\beta + 2\lambda) - \lambda^2}{\tau + \beta}$	
$\frac{k(-\beta s + 1)}{\tau s - 1}$	$\frac{\tau(\beta + 2\lambda) + \lambda^2}{(\beta + \lambda)^2}$	$\frac{\tau(\beta + 2\lambda) + \lambda^2}{\tau - \beta}$	
$\frac{k(-\beta s + 1)}{\tau^2 s^2 + 2\phi\tau s + 1}$	$\left[\begin{array}{l} -\beta(3\lambda^2 - 6\lambda\phi\tau - \tau^2) \\ + 2\beta^2\phi\tau + 3\lambda\tau^2 - \lambda^3 \end{array} \right] / (\beta + \lambda)^3$	$\left[\begin{array}{l} -\beta(3\lambda^2 - 6\lambda\phi\tau - \tau^2) \\ + 2\beta^2\phi\tau + 3\lambda\tau^2 - \lambda^3 \end{array} \right] / (-\beta^2 - 2\beta\phi\tau - \tau^2)$	$\left[\begin{array}{l} \beta(\lambda^3 - 3\lambda\tau^2) - \beta^2\tau^2 \\ - 3\lambda^2\tau^2 + 2\lambda^3\phi\tau \end{array} \right] / [\beta(3\lambda^2 - 6\lambda\phi\tau - \tau^2) + 2\beta^2\phi\tau + 3\lambda\tau^2 - \lambda^3]$
$\frac{ke^{-\theta s}}{\tau s + 1}$	$\frac{\tau(\theta + 2\lambda) - \lambda^2}{(\theta + \lambda)^2}$	$\frac{\tau(\theta + 2\lambda) - \lambda^2}{\tau + \theta}$	
$\frac{ke^{-\theta s}}{s(\tau s + 1)}$	$\frac{(3\lambda + \theta)(\tau + \theta)}{(\lambda + \theta)^3}$	$\theta + 3\lambda$	$\frac{3\theta\tau\lambda + \theta^2\tau + 3\tau\lambda^2 - \lambda^3}{(\theta + 3\lambda)(\theta + \tau)}$

3. 결과 및 토론

제안한 방법이 다양한 공정에 적용될 수 있는지 모사를 통하여 조사하였다. IMC-PID tuning과 비교를 할 수 있는 것은 하였다. 본 방법의 제안은 실제 IMC-PID tuning의 부하응답을 개선하려는 것으로 부하응답을 좋게 하면 설정점 응답에 큰 overshoot를 보통 주게된다. 이를 막기 위해 설정점 응답에는 미분동작을 없애고 비례동작에 weight를 주는 2자유도 PID제어기가 사용된다.

아래에 simulation 결과가 나와있다.

공정은 $G_p(s) = \frac{e^{-\theta s}}{s+1}$ 에 대한 응답을 나타낸다. 시간지연 항은 5차 Pade근사를 하였다. 이를 보면 시간지연이 0.1인 경우 IMC-PID tuning의 부하응답이 매우 느린 것을 볼 수 있는데 이는 소거된 공정의 상대적으로 느린 pole이 부하응답에 나타나기 때문이다.



4. 참고 문헌

1. Seborg, D. E., T. F. Edgar, and D. A. Mellichamp, *Process Dynamics and Control*, Wiley, NY, 1989.
2. Åstrom, K. J. and T. Hägglund, *Automatic Tuning of PID Controllers*, Instrument Society of America, NC, 1988.
3. Morari, M. and E. Zafiriou, *Robust Process Control*, Prentice Hall, NJ, 1989.